



طراحی کنترل کننده‌ی ترکیبی تطبیقی هوشمند با استفاده از شبکه‌های عصبی موجکی کوانتمومی برای ردیابی مسیر سیستم‌های کوانتمومی بسته‌ی متناهی

زینب صاحبی^۱، مجید یار احمدی^{۲*}

۱- دانشجوی دکتری، ریاضی کاربردی، دانشگاه لرستان، خرم‌آباد

۲- استادیار، ریاضی کاربردی، دانشگاه لرستان، خرم‌آباد

* خرم‌آباد، صندوق پستی ۴۶۵ yarahmadi.m@lu.ac.ir

چکیده

در این مقاله، یک کنترل کننده‌ی ترکیبی تطبیقی هوشمند جدید برای ردیابی یک مسیر دینامیک در سیستم‌های کوانتمومی بسته‌ی متناهی ارائه شده است. مشکل بروز تکینی‌های ذاتی در سیگنال‌های کنترل کننده‌ی ردیابی مسیرهای دینامیکی در کنترل سیستم‌های کوانتمومی، منجر به رشد شدید دامنه‌ی سیگنال‌های کنترل و در نتیجه افزایش هزینه‌ی کنترل و ناپایداری سیستم کنترل می‌شود. ابتدا بر اساس تئوری پایداری لیپانوف یک کنترل کننده‌ی تطبیقی برای ردیابی مسیر دینامیک طراحی می‌شود. سپس برای رفع مشکل تکینی در سیگنال‌های کنترل تطبیقی، یک کنترل کننده‌ی هوشمند کوانتمومی مبتنی بر شبکه‌ی عصبی موجکی تطبیقی کوانتمومی با قوانین یادگیری پس انتشار دسته‌ای طراحی و بوسیله‌ی یک پارامتر ناظر تکینی با کنترل کننده‌ی تطبیقی ترکیب شده است. کنترل کننده‌ی ارائه شده با ترکیب مؤثر سیگنال‌های کنترل تطبیقی و هوشمند، حالت سیستم کوانتمومی را طوری تنظیم می‌کند که فرایند ردیابی مسیر دینامیک از پیش تعیین شده، به خوبی کنترل می‌شود. کنترل کننده‌ی پیشنهادی علاوه بر ردیابی مسیر هدف، اثرات نامطلوب ناشی از بروز پدیده‌ی تکینی و دامنه بزرگ سیگنال‌های کنترل را حذف می‌کند. عملکرد کنترل کننده‌ی ترکیبی تطبیقی هوشمند پیشنهادی در مساله‌ی کنترل انتقال جمیعت یک سیستم کوانتمومی بسته‌ی چهار سطحی در ردیابی مسیر دینامیک پاسخ پله، مورد بررسی قرار گرفته است. بررسی نتایج شبیه‌سازی کاهش خطای ردیابی، کم شدن هزینه‌ی کنترل با تقطیع مؤثر سیگنال‌های کنترل و کاهش قابل ملاحظه‌ی تعداد دفعات بروز پدیده‌ی تکینی را نشان می‌دهد.

اطلاعات مقاله

مقاله پژوهشی کامل

دریافت: ۰۸ آبان ۱۳۹۶

پذیرش: ۱۹ دی ۱۳۹۶

ارائه در سایت: ۰۵ بهمن ۱۳۹۶

کلید واژگان:

کنترل تطبیقی کوانتمومی

شبکه‌ی عصبی موجکی کوانتمومی

کنترل هوشمند کوانتمومی

ردیابی مسیر کوانتمومی

کنترل کننده ترکیبی کوانتمومی

Hybrid adaptive intelligent controller design using quantum wavelet neural networks for trajectory tracking control in finite dimensional closed quantum systems

Zeinab Sahebi, Majid Yarahmadi*

Department of Mathematics and Computer Science, Lorestan University, Khorramabad, Iran

* P.O.B. 465, Khorramabad, Iran, yarahmadi.m@lu.ac.ir

ARTICLE INFORMATION

Original Research Paper

Received 30 October 2017

Accepted 09 January 2018

Available Online 25 January 2018

Keywords:

Quantum Adaptive Control
Quantum Wavelet Neural Network
Quantum Intelligent Control
Quantum Trajectory Tracking
Quantum Hybrid Controller

ABSTRACT

In this paper, a new hybrid adaptive intelligent controller is introduced to track a dynamic trajectory in finite dimensional closed quantum systems. The problem of inherent singularities in control signals of trajectory tracking in quantum systems leads to a sharp increase in control signal amplitude. As a result, the amplitude of the large signal increases the control cost and control system instability. Consequently, the large control signal amplitude increases the control cost and leads to instability in control system. Firstly, according to the Lyapunov stability theory, an adaptive controller is designed to track the dynamic path. Then, to overcome the singularity drawback, a quantum intelligent controller is designed based on a quantum adaptive wavelet neural network with batch back propagation learning and combined with adaptive controller by a singularity observer. The proposed hybrid adaptive intelligent controller by combining the adaptive and intelligent control signals adjusts the quantum state so that the desired dynamic trajectory is traced effectively and simultaneously eliminates the effects of singularities and reduces the control amplitude. The performance of the hybrid adaptive intelligent controller is checked for step response tracking in a population transfer of a four-level closed quantum system. The simulation results show that the introduced controller reduces the tracking error and significantly decreases the number of singular points. Also, the control cost is reduced by effective adjustment of the control signal's amplitude.

- مقدمه

میکروسکوپی منجر به پیدایش مکانیک کوانتمومی شد. پس از پیدایش مکانیک کوانتمومی و تحلیل دقیق پدیده‌های کوانتمومی در سه دهه‌ی اخیر، با شروع قرن بیستم ناتوانی فیزیک کلاسیک در حوزه‌های نسبیتی و

برای ارجاع به این مقاله از عبارت ذیل استفاده نمایید:

Z. Sahebi, M. Yarahmadi, Hybrid adaptive intelligent controller design using quantum wavelet neural networks for trajectory tracking control in finite dimensional closed quantum systems, *Modares Mechanical Engineering*, Vol. 18, No. 02, pp. 179-188, 2018 (in Persian)

نتیجه، تحقیقات در زمینه‌ی شبکه‌های عصبی قابل اجرا در کامپیوترهای کوانتمومی و دست‌یابی به سیستمی با قابلیت پردازش سریع و موازی اطلاعات، منجر به ارائه یک مدل نرون کیوبیتی سازگار با اصول مکانیک کوانتمومی شد. آموزش این نرون از طریق قانون یادگیری پسانشان کوانتمومی انجام می‌شود. سپس، مدلی از شبکه‌های عصبی کوانتمومی ارائه شد که در آن برهمنش بین نرون‌های کیوبیتی از قواعد فیزیک کوانتمومی پیروی کرده و کارایی آن نسبت به شبکه‌های عصبی کلاسیک بیشتر است [22]. همچنین در [23] با تکیه بر ویژگی فراگیری گیت دورانی تک کیوبیتی و گیت کنترلی NOT و استفاده از نرون‌های کوانتمومی در لایه‌های مخفی و خروجی، یک مدل شبکه‌ی عصبی پسانشان کوانتمومی طراحی شد. شبکه‌های عصبی پسانشان کوانتمومی از لحاظ سرعت یادگیری، نرخ همگرایی و مقاومت نسبت به شبکه‌های عصبی کلاسیک دارای برتری هستند [24]. با انشان این نتایج، مدل‌های متنوعی از شبکه‌ی عصبی طراحی شد: مدل شبکه‌های عصبی کوانتمومی چندلایه [26,25]. شبکه‌های عصبی پرسپترون کوانتمومی خودگردان [27] و شبکه‌های عصبی کوانتمومی با وزن‌های کوانتمومی [29,28]. بعلاوه در [30] مدل پرسپترون کوانتمومی به عنوان تعمیم مستقیم پرسپترون‌های کلاسیک، ارائه شده است. این شبکه توسط الگوریتم یادگیری کوانتمومی آموزش داده می‌شود. محققان از روش‌های کلاسیک مختلفی برای بهبود عملکرد شبکه‌های عصبی کوانتمومی استفاده کرده‌اند. یکی از این روش‌ها استفاده از توابع موجک در معماری شبکه‌ی عصبی است. انواع مختلف شبکه‌های عصبی کلاسیک با تکیه بر قابلیت خاص تبدیل‌های موجکی در آشکارسازی ویژگی‌های موضعی توابع و استفاده از موجک‌ها به عنوان تابع محرك طراحی شده‌اند [31-34]. در سال 2010 بر اساس تئوری آنالیز موجکی و تئوری برهمنهی کوانتمومی، یک مدل شبکه‌ی عصبی موجکی کوانتمومی ارائه شده که در آن تابع موجک غیرخطی، به عنوان جایگزین تابع محرك سیگموئیدی لایه‌ی مخفی برگرفته است [35]. سپس، در [36] یک شبکه‌ی عصبی موجکی کوانتمومی با ترکیب تابع موجک پایه‌ای گاوی و تابع پایه‌ای شعاعی در یک شبکه‌ی عصبی کوانتمومی چندلایه، طراحی شد. این شبکه می‌تواند با شناسایی عدم اطمینان داده‌های نمونه، مدت زمان فرایند یادگیری شبکه را کاهش دهد. از کاربردهای کلاسیک کنترل شبکه‌های عصبی کوانتمومی می‌توان به استفاده از آن‌ها در کنترل سیستم پاندول تناسبی-انتگرالی-دیفرانسیلی⁴ خودتنظیم مدل مرجع با استفاده از نرون‌های کیوبیتی [37] و کنترل سیستم پاندول معکوس و نوسانگر دافینگ⁵ با طراحی کنترل کننده مقاوم هوشمند کوانتمومی مبتنی بر مد لغزشی با لایه‌ی مرزی [3] اشاره کرد. همچنین، شبکه‌های عصبی کوانتمومی به طور موفقیت‌آمیز در بازیابی تصویر [25]، آنالیز⁶ و کلاسیبندی سیگنال‌های الکتروانسفالوگرافی⁷ [36] و شناسایی الگوی خرابی جعبه‌دنده [30] مورد استفاده قرار گرفته‌اند.

در این مقاله، با توجه به اهمیت کنترل ریدیابی مسیر در سیستم‌های کوانتمومی و همچنین کارایی مؤثر شبکه‌های عصبی کوانتمومی در شناسایی سیستم‌های کنترل، با ترکیب روش ریدیابی مسیر تطبیقی و کنترل کننده هوشمند عصبی موجکی کوانتمومی، رویکرد جدیدی برای کنترل ریدیابی مسیر سیستم‌های کوانتمومی بسته با بعد متناهی ارائه می‌شود. حالت اولیه‌ی سیستم کوانتمومی به صورت دلخواه انتخاب شده و حالت مطلوب آن یک تابع پیوسته

⁴ Proportional-Integral-Derivative (PID)⁵ Duffing oscillator⁶ Electroencephalography (EEG)

تئوری کنترل سیستم‌های کوانتمومی با الهام گرفتن از پیشرفت‌های تجربی و مسائل مطرح شده در برخی از علوم مانند شیمی کوانتمومی، اطلاعات کوانتمومی، اپتیک کوانتمومی، فیزیک اتمی و مولکولی گسترش یافت. اخیراً سیاری از روش‌های کنترل کلاسیک از جمله کنترل لیاپانوفی [1]، کنترل بهینه [2]، کنترل مقاوم [3]، کنترل تطبیقی [4-6]، روش‌های رزونانس مغناطیسی هسته‌ای⁸ [7]، کنترل یادگیر کوانتمومی مبتنی بر الگوریتم ژنتیک [8] و کنترل هوشمند فازی [9] برای کنترل حالت سیستم‌های کوانتمومی توسعه داده شده‌اند. کنترل پدیده‌های کوانتمومی در سیاری از سیستم‌های کاربردی مانند اپتیک کوانتمومی و نیمه هادی‌های نانو ساختار [10-12]، فیزیک اتمی و مولکولی و شیمی فیزیک [13] و رزونانس مغناطیسی هسته‌ای [14] مطرح می‌شود.

هدف اصلی کنترل کوانتمومی، کنترل مؤثر سیستم به منظور هدایت آن از یک حالت اولیه‌ی دلخواه به یک حالت نهایی مطلوب با به کارگیری میدان‌های کنترل خارجی می‌باشد. اگر حالت مطلوب سیستم کوانتمومی تحت کنترل ایستا باشد مساله‌ی کنترل، یک مساله‌ی کنترل تنظیم حالت⁹ است و در صورتی که حالت مطلوب سیستم یک تابع وابسته به زمان باشد، مساله‌ی کنترل به مساله‌ی ریدیابی مسیر¹⁰ تبدیل می‌شود [15]. با اینکه حالت‌های در همینه‌یده، آمیختنگی و برهمنهی در سیستم‌های کوانتمومی، موجب پیچیدگی فرایند کنترل ریدیابی مسیر می‌شوند، روش‌های مختلفی در این زمینه بکار گرفته شده‌اند. به عنوان مثال روش‌های ریدیابی مسیر سیستم کوانتمومی با مساله‌ی شرودینگر [16,4]، ریدیابی مسیر مرجع سیستم‌های کوانتمومی همدوس [6]، کنترل ریدیابی مسیر لیاپانوفی برای تنظیم حالت سیستم کوانتمومی با معادله‌ی لیوویل [15] و ریدیابی مداری یک سیستم هدف تحول آزاد در سیستم کوانتمومی بسته [17] برای کنترل حالت سیستم‌های کوانتمومی بررسی شده‌اند. در فرایند کنترل ریدیابی مسیر سیستم‌های کوانتمومی ممکن است سیگنال‌های کنترل تکین شده یا دامنه‌ی آن‌ها بسیار بزرگ شود. تکینی سیگنال‌های کنترل بر اساس مشخصه‌ی کنترل پذیری سیستم به تکینی‌های ذاتی و رفع شدنی تقسیم می‌شوند [18]. در حالت تکینی‌های رفع شدنی، ریدیابی مسیر مطلوب توسط سیستم امکان‌پذیر است اما روبرو شدن با سیگنال‌های کنترل با دامنه‌ی بسیار بزرگ دور از انتظار نیست. هرگاه تکینی سیگنال‌های کنترل از نوع ذاتی باشد، سیستم کنترل پذیر نبوده و در لحظه‌ی بروز تکینی نمی‌تواند مسیر هدف را به صورت دقیق ریدیابی کند [19,18]. تحقیقات محدودی در زمینه‌ی بررسی و رفع مشکل تکینی در کنترل سیستم‌های کوانتمومی انجام شده است. رفتار تکین سیگنال‌های کنترل در [20] مورد بررسی قرار گرفته است. در این مرجع تکینی‌های غیر ذاتی با استفاده از یک ساختار رتبه شناسایی شده و سپس طی یک فرایند محدودسازی رفع می‌شوند. همچنین، در [19,18] از روش کنترل تطبیقی برای رفع نایابداری ناشی از پارازیت تکینی سیگنال‌های کنترل و مدیریت اثرات نامطلوب دامنه‌ی بزرگ سیگنال‌های کنترل در ریدیابی مسیر سیستم‌های کوانتمومی بسته استفاده شده است.

با گسترش مطالعات در زمینه‌ی محاسبات کوانتمومی در دهه‌ی 1990 مفهوم شبکه‌های عصبی کوانتمومی ارائه شد. عملکرد این شبکه‌ها مبتنی بر اصول مکانیک کوانتمومی بوده و به منظور غلبه بر نارسایی‌ها و ناقصی مدل شبکه‌های عصبی کلاسیک طراحی می‌شوند. می‌توان حالت پردازش شبکه‌های عصبی کلاسیک را بر اساس فیزیک کوانتمومی تشریح کرد [21]. در

¹ Nuclear Magnetic Resonance (NMR)² Regulation³ Trajectory tracking control

علاوه، مقدار چشمداشتی اندازه‌گیری سیستم با رابطه‌ی (4) داده می‌شود:

$$\begin{aligned} Y(t) &= \langle O(t) \rangle_{|\psi(t)\rangle} = \sum_j \lambda_j \Pr(\lambda_j) = \sum_j \lambda_j \langle \psi(t) | O_j | \psi(t) \rangle \\ &= \langle \psi(t) | \sum_j \lambda_j O_j | \psi(t) \rangle = \langle \psi(t) | O(t) | \psi(t) \rangle. \end{aligned} \quad (4)$$

در اینجا هدف، کنترل مؤثر سیستم کوانتومی است تا در نتیجه‌ی آن مقدار چشمداشتی عملگر مشاهده‌پذیر $O(t)$ مسیر مطلوب $S(t)$ را ریدیابی کند:

$$S(t) - \langle \psi(t) | O(t) | \psi(t) \rangle \rightarrow 0, t \rightarrow +\infty. \quad (5)$$

بنابراین، در فرایند کنترل ریدیابی مسیر سیستم کوانتومی سیگنال‌های کنترل باید طوری طراحی شوند که حالت $\langle \psi(t) | \psi(t) \rangle$ شرط (5) را برقرار کند. مسیر مطلوب $S(t)$ را می‌توان به اشکال مختلف در نظر گرفت. در این مقاله تابع پاسخ پله، به عنوان یکی از پر کاربردترین سیستم‌های هدف در بررسی عملکرد کنترل سیستم‌های مهندسی، در نظر گرفته می‌شود. با توجه به ماهیت احتمالی تحول جمعیت در معادله (4) و مسیر هدف در نظر گرفته شده، $Y(t)$ و $S(t)$ در بازه‌ی $[0, 1]$ قرار دارند. در نتیجه، برای رسیدن به هدف کنترل کافیست سیگنال‌های کنترل طوری طراحی شوند که $Y(t)$ مسیر هدف $S(t)$ را ریدیابی کند. به منظور بررسی عملکرد کنترل ریدیابی مسیر، تفاصل بین $S(t)$ و $Y(t)$ به عنوان سیگنال خطای ریدیابی در نظر گرفته می‌شود:

$$e(t) := S(t) - Y(t) = S(t) - \langle \psi(t) | O(t) | \psi(t) \rangle. \quad (6)$$

3- طراحی سیستم کنترل

3-1- طراحی قانون کنترل ریدیابی مسیر تطبیقی

در این بخش، قانون‌های تطبیقی کنترل با استفاده از روش لیپاپونف، طوری طراحی می‌شوند که انتقال جمعیت در سیستم کوانتومی n -سطوحی بسته‌ی (1) با مشاهده‌پذیر $O(t)$ مسیر هدف $S(t)$ را ریدیابی کند. برای این منظور، پایداری سیستم کنترل کوانتومی توسط قضیه‌ی پایداری لیپاپونف تضمین می‌شود. اساس روش لیپاپونف مبتنی بر انتخاب تابعی مانند V با مشتق‌های جزئی پیوسته است که در شرایط زیر صدق می‌کند:

- V یکتابع نیمه معین مثبت است: $0 \leq V \leq V_0$.
- مشتق زمانی مرتبه اول V غیر معین منفی است: $\dot{V} \leq 0$.

تابع V با شرایط فوق یکتابع لیپاپونف نامیده می‌شود.

قضیه 1

سیستم کوانتومی بسته‌ی (1) در نظر گرفته می‌شود. اگر سیگنال‌های کنترل u_k برای $k = 2, 3, \dots, M$ و u_1 با رابطه‌های (7) و (8) تعریف شوند:

$$u_1(t) = \frac{\dot{S}(t) - 2\text{Img}(\langle \psi(t) | O(t) \cdot H_0 | \psi(t) \rangle)}{2\text{Img}(\langle \psi(t) | O(t) \cdot H_1 | \psi(t) \rangle)}, \quad (7)$$

$$u_k(t) = g_k e(t) + 2\text{Img}(\langle \psi(t) | O(t) \cdot H_k | \psi(t) \rangle) \quad (8)$$

که در آن g_k بهره‌ی کنترل است، آنگاه سیستم کنترل داده شده پایدار لیپاپونف است.

اثبات

برای اثبات پایداری سیستم (1)، تابع $V(t)$ به صورت رابطه (9) در نظر گرفته می‌شود:

$$V(t) := \frac{1}{2} e^2(t) \quad (9)$$

از زمان در نظر گرفته می‌شود. قوانین کنترل تطبیقی بر اساس روش لیپاپونف طراحی شده و پایداری سیستم تحت کنترل با اثبات یک قضیه تضمین می‌شود. سپس مشکلات ناشی از دامنه‌ی بزرگ و تکینی ذاتی در سیگنال‌های کنترل تطبیقی با استفاده از کنترل کننده‌ی هوشمند کوانتومی رفع می‌شوند. در صورتی که در سیگنال‌های کنترل تطبیقی تکینی رخ داده یا دامنه‌ی آن‌ها بسیار بزرگ شود، سیگنال‌های کنترل کننده‌ی هوشمند به صورت آنلاین توسط شبکه‌ی عصبی موجکی کوانتومی محاسبه شده و فرایند ریدیابی مسیر سیستم را کنترل می‌کنند. در طراحی این شبکه‌ی عصبی، داده‌ها و وزن‌های لایه‌ی ورودی به صورت حالت‌های کوانتومی و داده‌های خروجی آن کلاسیک در نظر گرفته شده و از موجک کلاه مکزیکی به عنوان تابع حرکت لایه‌ی مخفی شبکه استفاده شده است.

دامنه‌ی مقاله به صورت زیر سازماندهی شده است.

در بخش 2 به معرفی مدل دینامیکی مساله و فرایند کنترل سیستم‌های کوانتومی بسته پرداخته می‌شود. سپس قوانین کنترل تطبیقی و شبکه‌ی عصبی موجکی تطبیقی هوشمند عصبی موجکی کوانتومی در بخش 3 طراحی شده و در نهایت کنترل کننده‌ی ترکیبی تطبیقی هوشمند عصبی موجکی کوانتومی معرفی می‌شود. بخش 4 به ارائه نتایج شبیه‌سازی انتقال جمعیت یک سیستم کوانتومی چهار سطحی بسته با استفاده از کنترل کننده‌ی پیشنهادی اختصاص داده شده است. در پایان، نتایج نوآوری و عملکرد کنترل کننده‌ی پیشنهاد شده در کنترل ریدیابی مسیر سیستم‌های کوانتومی بسته در بخش 5 خلاصه می‌شوند.

2- دینامیک و فرایند کنترل سیستم کوانتومی

حالت یک سیستم کوانتومی n -سطوحی عضو فضای هیلبرت \mathbb{C}^{2n-1} است و با تابع موج $(\psi(t))$ نمایش داده می‌شود. اگر ماتریس‌های هرمیتی H_k و H_0 به ترتیب همیلتونی‌های آزاد (داخلی) و کنترل (خارجی) سیستم باشند، آنگاه همیلتونی کل سیستم به صورت $H = [H_0 + \sum_{k=1}^M u_k(t) H_k]$ تعریف می‌شود. در کنترل ریدیابی مسیر حالت خالص، دینامیک سیستم کوانتومی n -سطوحی بسته با معادله‌ی شرودینگر (1) توصیف می‌شود [1]:

$$i\hbar |\dot{\psi}(t)\rangle = \left[H_0 + \sum_{k=1}^M u_k(t) H_k \right] |\psi(t)\rangle, \quad (1)$$

$|\psi(0)\rangle = |\psi_0\rangle$ که در آن (ψ_0) حالت اولیه سیستم کوانتومی است. توابع $\psi(t)$ و $u_k(t)$ به عنوان سیگنال‌های کنترل، از طریق ماتریس‌های وابسته به زمان \mathbb{R} همیلتونی‌های کنترل با سیستم کوبل می‌شوند. برای سادگی، ثابت پلانک $\hbar = 1$ در نظر گرفته می‌شود. در مکانیک کوانتومی، هر اندازه‌گیری از سیستم کوانتومی با یک عملگر هرمیتی موسوم به مشاهده‌پذیر متناظر است و هرگاه یک سیستم کوانتومی با حالت $(\psi(t))$ توسط مشاهده‌پذیر $O(t)$ اندازه‌گیری شود، نتیجه‌ی اندازه‌گیری یکی از مقدارهای ویژه‌ی این مشاهده‌پذیر می‌باشد. اگر J یک زیرمجموعه‌ی اندازه‌پذیر از طیف عملگر $O(t)$ و O_j عملگر تصویرگر متناظر با مقدار ویژه‌ی J باشد، آنگاه تجزیه‌ی طیفی گستته‌ی $O(t)$ به صورت رابطه (2) است [38]:

$$O(t) = \sum_j \lambda_j O_j. \quad (2)$$

بنابراین، مقدار ویژه‌ی J با احتمال $\Pr(J)$ به عنوان خروجی اندازه‌گیری مشاهده می‌شود:

$$\Pr(J) = \langle \psi(t) | O_j | \psi(t) \rangle. \quad (3)$$

فضای هیلبرت $\mathcal{H} = \{|x\rangle : |x\rangle = [x_1, x_2, \dots, x_n]^T, x_i \in \mathbb{C}, i = 1, 2, \dots, n\}$ ، به عنوان داده‌های ورودی آموزشی نرون در نظر گرفته می‌شوند. حال نگاشت حقیقی‌ساز $T : \mathcal{H} \rightarrow \mathbb{R}^{2n}$ با رابطه (18) تعريف می‌شود:

$$T|x\rangle := (\text{Re}|x\rangle, \text{Img}|x\rangle)^T. \quad (18)$$

به منظور جلوگیری از پیچیدگی محاسبات ناشی از ورودی‌های مختلف $|x_1\rangle, |x_2\rangle, \dots, |x_R\rangle$ فرم حقیقی‌سازی شده این حالت‌ها به عنوان داده‌های ورودی نرون در نظر گرفته می‌شوند:

$$|\underline{x}_k\rangle := T|x_k\rangle = [\text{Re}|x_k\rangle, \text{Img}|x_k\rangle]^T, \quad k = 1, 2, \dots, R. \quad (19)$$

به عبارت دیگر، ورودی‌های حقیقی‌سازی شده $|\underline{x}_1\rangle, |\underline{x}_2\rangle, \dots, |\underline{x}_R\rangle$ به نرون اعمال می‌شوند. ورودی‌های حقیقی‌سازی شده با ضرب داخلی در وزن‌های کوانتومی $\langle W_1|, \dots, \langle W_R|$ وزن دار شده و حاصل جمع آن‌ها به عنوان ورودی خالص نرون عصبی موجکی کوانتومی در نظر گرفته می‌شود. نرون عصبی موجکی کوانتومی از طریق تابع موجک $(x)|\Psi_{a,b}\rangle$ تحریک شده و خروجی آن با رابطه (20) محاسبه می‌شود:

$$\hat{y} = \Psi_{a,b} \left(\sum_{k=1}^R \langle W_k | \underline{x}_k \rangle \right) \quad (20)$$

که در آن $|W_k\rangle$ ها وزن‌های کوانتومی نرون هستند و ضرب داخلی $\langle W_k | \underline{x}_k \rangle = \sum_{i=1}^{2n} \overline{W}_{ki} \cdot \underline{x}_k$ با رابطه (19) محاسبه می‌شود. همچنین، \overline{W}_{ki} مزدوج مختلط عدد W_{ki} است. پارامترهای قابل تنظیم نرون عصبی موجکی تطبیقی شامل وزن‌های کوانتومی $\langle W_k|$ و پارامترهای a و b می‌باشند.

3-2-2- مدل شبکه‌ی عصبی موجکی تطبیقی کوانتومی

در این بخش، با ترکیب نرون‌های عصبی موجکی تطبیقی کوانتومی، مدل شبکه‌ی عصبی موجکی تطبیقی کوانتومی طراحی می‌شود. شبکه‌ی عصبی موجکی تطبیقی کوانتومی در شکل 1 نشان داده شده است. ساختار این شبکه از R ورودی کوانتومی، S_1 نرون عصبی موجکی کوانتومی در لایه‌ی مخفی و S_2 خروجی حقیقی تشکیل شده است. در شبکه‌ی عصبی موجکی تطبیقی کوانتومی، $|\underline{x}_1\rangle, |\underline{x}_2\rangle, \dots, |\underline{x}_R\rangle$ بردارهای ورودی، $\langle W_{ij}|$ حالت‌های وزن‌های اتصال بین لایه‌ی ورودی i و لایه‌ی مخفی j ، net_j ورودی خالص نرون زام و موجک $\Psi_{a,b,j}$ تابع تحریک نرون زام می‌باشند. همچنین، c_{jk} برای مخفی و k -امین نرون لایه‌ی خروجی شبکه بوده و f_k -ها تابع انتقال سیگموئیدی در نظر گرفته می‌شوند.

رابطه‌ی ورودی-خرجی لایه‌های شبکه‌ی عصبی موجکی تطبیقی کوانتومی در رابطه‌های (21) و (22) نشان داده شده است:

$$\text{net}_j := \sum_{i=1}^R \langle W_{ij} | \underline{x}_i \rangle, \quad i = 1, 2, \dots, R, \quad j = 1, 2, \dots, S_1 \quad (21)$$

$$\hat{y}_k = f_k \left(\sum_{j=1}^{S_1} c_{jk} \Psi_{a,b,j}(\text{net}_j) \right), \quad k = 1, 2, \dots, S_2. \quad (22)$$

3-2-3- الگوریتم یادگیری شبکه

شبکه‌ی عصبی موجکی تطبیقی کوانتومی شامل وزن‌ها و پارامترهای قابل تنظیم $\langle W_{ij}|, a_j, b_j, c_{jk}$ است که باید بروزرسانی شوند. پارامترهای انتقال

سیگنال خطای $e(t)$ توسط رابطه (6) تعريف می‌شود. تابع $V(t)$ به وضوح نیمه معین مثبت است و مشتق مرتبه اول آن نسبت به زمان به صورت رابطه (10) است:

$$\dot{V}(t) = e(t) \cdot \dot{e}(t) \quad (10)$$

و $(t)\dot{e}$ مشتق زمانی مرتبه اول سیگنال خطای می‌باشد:

$$\dot{e}(t) = \dot{S}(t) - \langle \dot{\psi}(t) | O(t) | \psi(t) \rangle - \langle \psi(t) | \dot{O}(t) | \psi(t) \rangle - \langle \psi(t) | O(t) | \dot{\psi}(t) \rangle. \quad (11)$$

با جایگذاری $\langle t | \psi | t \rangle$ از رابطه (1) در (11) خطای $\dot{e}(t)$ به صورت

(12) به دست می‌آید:

$$\dot{e}(t) = \dot{S}(t) - \langle \psi(t) | i[H(t), O(t)] + \dot{O}(t) | \psi(t) \rangle \quad (12)$$

که در آن $H(t) = (H_0 + \sum_{k=1}^M u_k(t) H_k)$ و عملگر $[., .]$ معرف برآکت لی می‌باشد. با استفاده از رابطه (12) در (10) نتیجه می‌شود:

$$\begin{aligned} \dot{V}(t) &= e(t) \cdot \left(\dot{S}(t) - 2\text{Img}(\langle \psi(t) | O(t) \cdot H_0 | \psi(t) \rangle) \right. \\ &\quad \left. - 2 \sum_{k=1}^M u_k(t) \text{Img}(\langle \psi(t) | O(t) \cdot H_k | \psi(t) \rangle) \right) \end{aligned} \quad (13)$$

حال می‌توان تابع $\dot{V}(t)$ را به صورت (14) بازنویسی کرد:

$$\begin{aligned} \dot{V}(t) &= e(t) \cdot \left(\dot{S}(t) - 2\text{Img}(\langle \psi(t) | O(t) \cdot H_0 | \psi(t) \rangle) \right. \\ &\quad \left. - 2u_1(t) \text{Img}(\langle \psi(t) | O(t) \cdot H_1 | \psi(t) \rangle) \right. \\ &\quad \left. - 2 \sum_{k=2}^M u_k(t) \text{Img}(\langle \psi(t) | O(t) \cdot H_k | \psi(t) \rangle) \right) \end{aligned} \quad (14)$$

با توجه به تعريف $u_1(t)$ در رابطه (7) می‌توان رابطه (15) را نوشت:

$$\begin{aligned} e(t) \cdot (\dot{S}(t) - 2\text{Img}(\langle \psi(t) | O(t) \cdot H_0 | \psi(t) \rangle)) \\ - 2u_1(t) \text{Img}(\langle \psi(t) | O(t) \cdot H_1 | \psi(t) \rangle) = 0. \end{aligned} \quad (15)$$

در نتیجه رابطه (16) بدست می‌آید:

$$\dot{V}(t) = -2e(t) \cdot \left(\sum_{k=2}^M u_k(t) \text{Img}(\langle \psi(t) | O(t) \cdot H_k | \psi(t) \rangle) \right). \quad (16)$$

با جایگذاری $u_k(t)$ از (8) در رابطه (16) نتیجه می‌شود: $\dot{V}(t) \leq 0$. بنابراین، $V(t)$ برای سیستم کوانتومی بسته (1) یک تابع لیپاونوف است و این اثبات را کامل می‌کند.

3-2-3- طراحی شبکه‌ی عصبی موجکی تطبیقی کوانتومی

در این بخش، با استفاده از تابع موجک به عنوان تابع تحریک لایه‌ی مخفی، یک مدل نرون عصبی موجکی کوانتومی جدید ارائه می‌شود. تابع تحریک این نرون عضو خانواده‌ی توابع دو پارامتری $\Psi_{a,b}(x) = \Psi(x - b/a) / \sqrt{|a|}$ است که توسط پارامترهای انتقال و اتساع a و b از تابع $\Psi(x)$ می‌شوند. تابع $\Psi(x)$ ، تابع موجک مادر نامیده شده و در شرط (17) صدق می‌کند:

$$\int_0^{+\infty} \frac{|\widehat{\Psi}(\omega)|^2}{\omega} d\omega < +\infty \quad (17)$$

که در آن $(\omega)\widehat{\Psi}$ تبدیل فوریه‌ی تابع $(x)\Psi$ است. نرون عصبی موجکی کوانتومی شامل ورودی‌های کوانتومی حقیقی‌سازی شده، وزن دهنده از طریق ضرب داخلی بردارهای کوانتومی، تحریک حاصل جمع ورودی‌های وزن دار و خروجی کلاسیک است. از این نرون در معماری شبکه‌ی عصبی کوانتومی شکل 1 استفاده شده است. حالت‌های کوانتومی $\langle x_1\rangle, |x_2\rangle, \dots, |x_R\rangle$ ، عضو

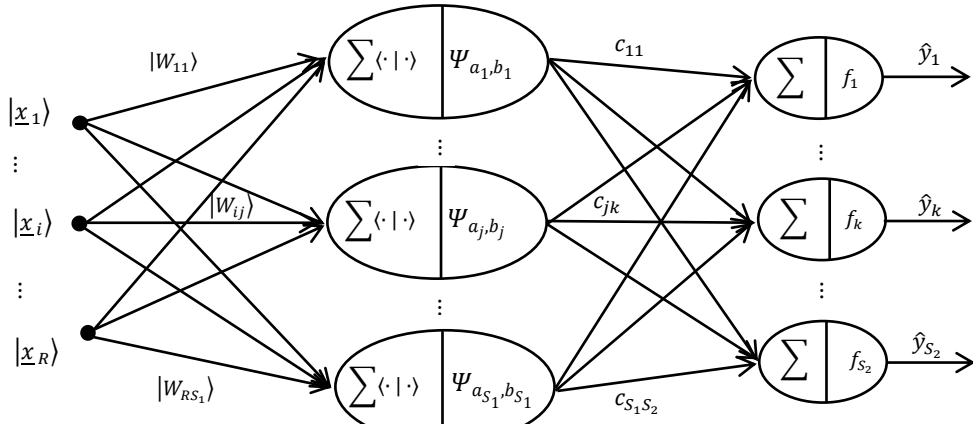


Fig. 1 The three layered multiple-input multiple-output quantum adaptive wavelet neural network

شکل ۱ شبکه‌ی عصبی موجکی تطبیقی کوانتموی سه لایه‌ی چند ورودی-چند خروجی

$$\times (y_k^p - \hat{y}_k^p) f'_k \left(\sum_{j=1}^{S_1} \frac{c_{jk}}{\sqrt{|a_j|}} \Psi_{a_j, b_j}(\text{net}_j^p) \right) \right), \quad (25)$$

$$\begin{aligned} \frac{\partial E}{\partial a_j} &= \frac{1}{2} \sum_{p=1}^N \frac{\partial E_p}{\partial a_j} = \frac{1}{2} \sum_{p=1}^N \frac{\partial (\sum_{k=1}^{S_2} (y_k^p - \hat{y}_k^p)^2)}{\partial a_j} \\ &= \sum_{p=1}^N \left(\left(\frac{\text{sgn}(a_j)}{2\sqrt{|a_j|^3}} \Psi_{a_j, b_j}(\text{net}_j^p) + \frac{\text{net}_j^p}{a_j \sqrt{|a_j|}} \Psi'_{a_j, b_j}(\text{net}_j^p) \right) \right. \end{aligned}$$

$$\left. \times \sum_{k=1}^{S_2} c_{jk} (y_k^p - \hat{y}_k^p) f'_k \left(\sum_{j=1}^{S_1} \frac{c_{jk}}{\sqrt{|a_j|}} \Psi_{a_j, b_j}(\text{net}_j^p) \right) \right), \quad (26)$$

$$\begin{aligned} \frac{\partial E}{\partial b_j} &= \frac{1}{2} \sum_{p=1}^N \frac{\partial E_p}{\partial b_j} = \frac{1}{2} \sum_{p=1}^N \frac{\partial (\sum_{k=1}^{S_2} (y_k^p - \hat{y}_k^p)^2)}{\partial b_j} \\ &= \sum_{p=1}^N \left(\left(\frac{1}{a_j \sqrt{|a_j|}} \Psi'_{a_j, b_j}(\text{net}_j^p) \right) \right. \end{aligned}$$

$$\left. \times \sum_{k=1}^{S_2} c_{jk} (y_k^p - \hat{y}_k^p) f'_k \left(\sum_{j=1}^{S_1} \frac{c_{jk}}{\sqrt{|a_j|}} \Psi_{a_j, b_j}(\text{net}_j^p) \right) \right) \quad (27)$$

که در آن مشتق f'_k و $\Psi'_{a_j, b_j}(\text{net}_j^p) = d\Psi(x)/dx|_{x=\text{net}_j^p}$ است. بعلاوه، ورودی خالص نرون j -ام با اعمال k -امین داده‌ی ورودی به شبکه با رابطه‌ی (28) محاسبه می‌شود:

$$\text{net}_j^p := \frac{\sum_{i=1}^R \langle W_{ij} | x_i^p \rangle - b_j}{a_j}. \quad (28)$$

در نتیجه، قوانین تنظیم وزن‌ها و پارامترهای شبکه‌ی عصبی موجکی تطبیقی کوانتموی با استفاده از الگوریتم پس‌انتشار خطای طبق رابطه‌های (29) تا (32) به دست می‌آیند:

$$|W_{ij}(l+1)\rangle = |W_{ij}(l)\rangle - \eta \frac{\partial E}{\partial |W_{ij}\rangle}, \quad (29)$$

$$c_{jk}(l+1) = c_{jk}(l) - \eta \frac{\partial E}{\partial c_{jk}}, \quad (30)$$

$$a_j(l+1) = a_j(l) - \eta \frac{\partial E}{\partial a_j}, \quad (31)$$

و اتساع تابع موجک به صورت قابل تنظیم در نظر گرفته شده و شبکه‌ی عصبی موجکی کوانتموی یک شبکه‌ی تطبیقی است. تا کنون از روش‌های مختلفی مانند روش کاهش گرادیان [29]، روش گرادیان مزدوج [26] و روش یادگیری مبتنی بر الگوریتم جستجوی گروور¹ [39] برای آموزش شبکه‌های عصبی کوانتموی استفاده شده است. اینجا از فرم دسته‌ای الگوریتم پس‌انتشار خطای برای تنظیم وزن‌ها و پارامترهای شبکه‌ی عصبی موجکی یادگیری کوانتموی استفاده می‌شود. در این الگوریتم پس از استفاده همه‌ی داده‌های یادگیری به شبکه، بروزرسانی وزن‌ها و پارامترها با استفاده از شاخص جمع وزن دار خطاهای خروجی شبکه انجام می‌شود. اگر فرض شود که مجموعه‌های $\{|x_1^p\rangle, |x_2^p\rangle, \dots, |x_R^p\rangle\}_{p=1}^N$ و $\{y_1^p, y_2^p, \dots, y_{S_2}^p\}_{p=1}^N$ به ترتیب داده‌های آموزشی ورودی و خروجی‌های مطلوب شبکه باشند، در این صورت، جمع وزن دار خطاهای شبکه‌ی عصبی موجکی تطبیقی کوانتموی به صورت (23) است:

$$E := \frac{1}{2} \sum_{p=1}^N E_p = \frac{1}{2} \sum_{p=1}^N \left(\sum_{k=1}^{S_2} (y_k^p - \hat{y}_k^p)^2 \right) \quad (23)$$

که در آن N تعداد داده‌های آموزشی شبکه و \hat{y}_k^p خروجی حاصل از اعمال k -امین داده‌ی ورودی به شبکه است. طبق الگوریتم کاهش گرادیان:

$$\begin{aligned} \frac{\partial E}{\partial |W_{ij}\rangle} &= \frac{1}{2} \sum_{p=1}^N \frac{\partial E_p}{\partial |W_{ij}\rangle} = \frac{1}{2} \sum_{p=1}^N \frac{\partial (\sum_{k=1}^{S_2} (y_k^p - \hat{y}_k^p)^2)}{\partial |W_{ij}\rangle} \\ &= \sum_{p=1}^N \left(\frac{-|x_i^p\rangle}{a_j \sqrt{|a_j|}} \Psi'_{a_j, b_j}(\text{net}_j^p) \right) \end{aligned}$$

$$\times \sum_{k=1}^{S_2} c_{jk} (y_k^p - \hat{y}_k^p) f'_k \left(\sum_{j=1}^{S_1} \frac{c_{jk}}{\sqrt{|a_j|}} \Psi_{a_j, b_j}(\text{net}_j^p) \right) \quad (24)$$

$$\begin{aligned} \frac{\partial E}{\partial c_{jk}} &= \frac{1}{2} \sum_{p=1}^N \frac{\partial E_p}{\partial c_{jk}} = \frac{1}{2} \sum_{p=1}^N \frac{\partial (\sum_{k=1}^{S_2} (y_k^p - \hat{y}_k^p)^2)}{\partial c_{jk}} \\ &= \sum_{p=1}^N \left(\left(\frac{-1}{\sqrt{|a_j|}} \Psi'_{a_j, b_j}(\text{net}_j^p) \right) \right. \end{aligned}$$

¹ Grover learning

کوانتمومی با ساختار $(R, S_1, S_2 = M + 1)$ به صورت آنلاین تنظیم می‌شوند:

$$u_{\text{int}_k}(t) = f_k \left(\sum_{j=1}^{S_1} \frac{c_{jk}^*}{\sqrt{|a_j^*|}} \Psi_{a_j^*, b_j^*} \left(\frac{\sum_{i=1}^R W_{ij}^* |\psi_i(t)| - b_j^*}{a_j^*} \right) \right), \quad k = 1, 2, \dots, M \quad (36)$$

که در آن a_j^*, b_j^* و c_{jk}^* پارامترهای بهینه‌ی حاصل از آموزش شبکه هستند.

نکته ۱

به منظور افزایش کارایی کنترل هوشمند، بردار سیگنال‌های کنترل تطبیقی $u_{\text{int}}(t)$ و مسیر هدف (t) در بازه‌ی زمانی منتهی به لحظه‌ی تکینی، به عنوان خروجی مطلوب داده‌های آموزشی در نظر گرفته می‌شوند. بنابراین، بردارهای خروجی مطلوب و خروجی شبکه‌ی عصبی موجکی تطبیقی کوانتمومی با (37) و (38) داده می‌شوند:

$$y = [u_{\text{ad}_1}(t), u_{\text{ad}_2}(t), \dots, u_{\text{ad}_M}(t), S(t)]^T, \quad (37)$$

$$\hat{y} = [u_{\text{int}_1}(t), u_{\text{int}_2}(t), \dots, u_{\text{int}_M}(t), Y(t)]^T. \quad (38)$$

سیگنال کنترل ترکیبی تطبیقی هوشمند عصبی موجکی کوانتمومی به صورت (39) تعریف می‌شوند:

$$u(t) := (1 - \theta)u_{\text{ad}}(t) + \theta u_{\text{int}}(t). \quad (39)$$

دیاگرام کنترل کننده‌ی ترکیبی تطبیقی هوشمند در شکل 2 نشان داده شده است. با توجه به ساختار سیگنال‌های ترکیبی $u(t)$ و تعریف پارامتر θ ، رדיابی مسیر سیستم کوانتمومی بسته‌ی متناهی (1) توسط سیگنال‌های کنترل تطبیقی $u_{\text{ad}_k}(t)$ انجام می‌شود. به محض تشخیص تکینی در سیستم کنترل توسط پارامتر ناظر تکینی، شبکه‌ی عصبی موجکی تطبیقی کوانتمومی به صورت آنلاین وظیفه‌ی رדיابی مسیر مطلوب را بهره‌مند می‌گیرد. در نتیجه، کنترل کننده‌ی طراحی شده با مدیریت مؤثر وضعیت تکینی و اجتناب از سیگنال‌های کنترل با دامنه‌ی بزرگ با اتلاف انرژی کمتر انتقال جمعیت سیستم کوانتمومی بسته‌ی متناهی را به صورت پایدار کنترل می‌کند. فرایند کنترل ترکیبی تطبیقی هوشمند عصبی موجکی کوانتمومی به طور خلاصه در بخش ۳-۴ آرائه شده است.

۳-۴-الگوریتم طراحی کنترل کننده‌ی ترکیبی تطبیقی هوشمند عصبی موجکی کوانتمومی

۱- مقدار چشمداشتی عملگر مشاهده‌پذیر $O(t)$ را در زمان t_0 و حالت اولیه‌ی داده شده $|\psi_0\rangle$ محاسبه کنید:

$$Y(t_0) = \langle \psi(t_0) | O(t_0) | \psi(t_0) \rangle \quad (40)$$

۲- بردار سیگنال‌های کنترل تطبیقی $u_{\text{ad}}(t)$ را با استفاده از مسیر مطلوب $S(t)$ و رابطه‌های (33) و (34) تنظیم کنید.

۳- با توجه به مقدار پارامتر ناظر تکینی وضعیت تکینی سیستم کنترل را تعیین کنید. اگر $\theta = 0$ آنگاه قرار دهید $u(t) = u_{\text{ad}}(t)$ و به گام ۵ بروید. در غیر این صورت به گام ۴ بروید.

۴- با استفاده از شبکه‌ی عصبی موجکی تطبیقی کوانتمومی با ساختار

$$u_{\text{int}}(t) = R - S_1 - (S_2 = M + 1)$$

را به صورت آنلاین تنظیم کنید. قرار دهید $u(t) = u_{\text{int}}(t)$ و u به گام ۵ بروید.

سپس به گام ۵ بروید.

$$b_j(l+1) = b_j(l) - \eta \frac{\partial E}{\partial b_j} \quad (32)$$

که در آن $R, S_1, j = 1, 2, \dots, S_2, i = 1, 2, \dots, S_1$ و $k = 1, 2, \dots, N$ نرخ یادگیری شبکه است.

۳-۳- طراحی کنترل کننده‌ی ترکیبی تطبیقی هوشمند عصبی موجکی کوانتمومی رדיابی مسیر سیستم

در کنترل تطبیقی رדיابی مسیر سیستم‌های کوانتمومی بسته‌ی متناهی (1)، ممکن است سیگنال‌های کنترل تطبیقی $u_k(t)$ در فرایند رדיابی دچار تکینی شوند. این پدیده موجب بزرگ شدن بیش از اندازه‌ی دامنه‌ی سیگنال‌های کنترل و رشد ناگهانی خطای رדיابی می‌شود. بروز تکینی در سیستم کنترل، همزمان با افزایش هزینه‌ی کنترل ناشی از بزرگی دامنه‌ی سیگنال‌های کنترل می‌تواند منجر به ناپایداری سیستم کوانتمومی شود. در این بخش، با ترکیب کنترل کننده‌ی تطبیقی رדיابی مسیر و کنترل کننده‌ی هوشمند عصبی موجکی تطبیقی کوانتمومی، یک کنترل کننده‌ی ترکیبی تطبیقی هوشمند طراحی می‌شود. این کنترل کننده با هدف رדיابی مسیر سیستم‌های کوانتمومی بسته‌ی متناهی و رفع مشکل تکینی سیگنال‌های کنترل کننده‌ی تطبیقی طراحی می‌شود. تمايل سیستم کنترل تطبیقی به تکینی از طریق مشاهده‌ی دامنه‌ی سیگنال‌های کنترل تطبیقی و سیگنال خطای رדיابی قابل تشخیص است.

نمادگذاری ۱

اگر فرض شود که سیگنال‌های کنترل تطبیقی $u_{\text{ad}_k}(t), k = 1, 2, \dots, M$ بر اساس رابطه‌های (7) و (8) تعریف شده باشند:

$$u_{\text{ad}_1}(t) := \frac{\dot{S}(t) - 2\text{Img}(\langle \psi(t) | O(t) \cdot H_0 | \psi(t) \rangle)}{2\text{Img}(\langle \psi(t) | O(t) \cdot H_1 | \psi(t) \rangle)}, \quad (33)$$

$$u_{\text{ad}_k}(t) := g_k e(t) \cdot 2\text{Img}(\langle \psi(t) | O(t) \cdot H_k | \psi(t) \rangle), \quad k = 2, \dots, M. \quad (34)$$

در این صورت، بردار سیگنال‌های کنترل تطبیقی رדיابی مسیر سیستم

$$u_{\text{ad}}(t) = [u_{\text{ad}_1}(t), u_{\text{ad}_2}(t), \dots, u_{\text{ad}_M}(t)]^T \quad (1) \text{ را با نمایش داده می‌شود.}$$

فرض کنید bnd_k و tol به ترتیب کران‌های قابل پذیرش دامنه‌ی سیگنال کنترل تطبیقی $u_{\text{ad}_k}(t)$ و سیگنال خطای رדיابی $e(t)$ باشند. به منظور تعیین وضعیت تکینی کنترل کننده‌ی تطبیقی، پارامتر ناظر تکینی θ با رابطه‌ی (35) تعریف می‌شود:

$$\theta := \begin{cases} 0, & \|u_{\text{ad}_k}(t)\| < bnd_k, |e(t)| < tol, \\ 1, & \text{o.w.} \end{cases} \quad (35)$$

طبق رابطه‌ی (35) همزمان با بروز تکینی در سیستم کنترل کننده‌ی تطبیقی، پارامتر ناظر تکینی مقدار برابر با ۱ می‌گیرد. در وضعیت تکینی سیگنال‌های کنترل تطبیقی (t) قادر به رדיابی دقیق مسیر مطلوب $S(t)$ نیستند. در نتیجه، برای ادامه‌ی فرایند رדיابی و مدیریت رفتار تکینی کنترل کننده‌ی تطبیقی، از سیگنال‌های کنترل هوشمند استفاده می‌شود.

نمادگذاری ۲

بردار سیگنال‌های کنترل هوشمند عصبی موجکی تطبیقی کوانتمومی را با $u_{\text{int}}(t) = [u_{\text{int}_1}(t), u_{\text{int}_2}(t), \dots, u_{\text{int}_M}(t)]^T$ نمایش داده می‌شود. سیگنال‌های هوشمند $u_{\text{int}_k}(t)$ با اعمال بردارهای حالت $|\psi_1(t)\rangle, |\psi_2(t)\rangle, \dots, |\psi_R(t)\rangle$ به شبکه‌ی عصبی موجکی تطبیقی

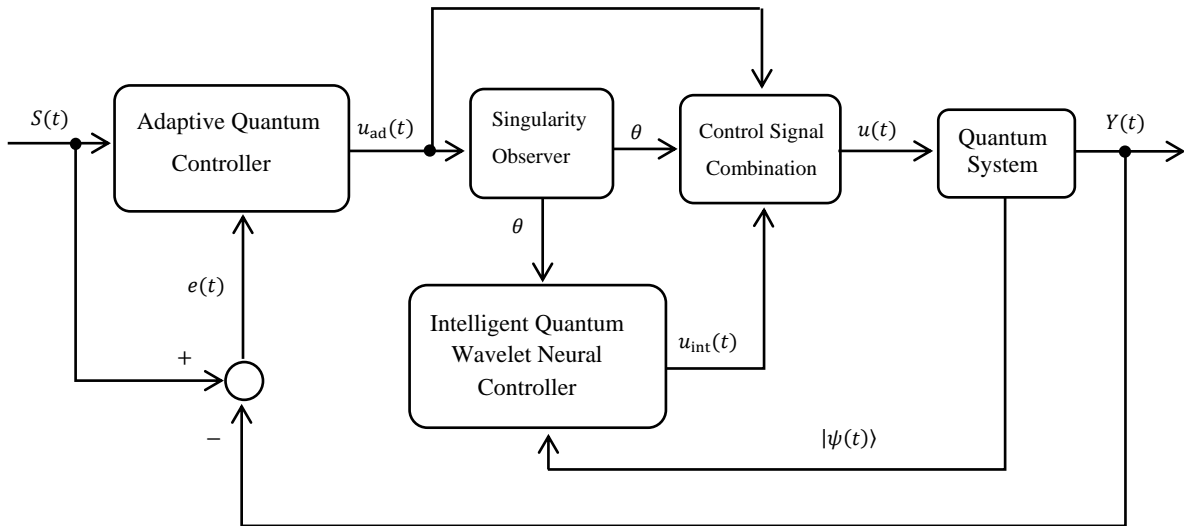


Fig. 2 Schematic diagram of the hybrid adaptive intelligent quantum wavelet neural controller

شکل 2 دیاگرام فرایند کنترل ترکیبی تطبیقی هوشمند عصبی موجکی کوانتمومی

با توجه به قانون کنترل ترکیبی (39) در صورتی که دامنه سیگنال کنترل t_s یا $u_{ad_2}(t)$ یا $u_{ad_1}(t)$ از لحظه t_s از کران داده شده بزرگتر باشد، پارامتر θ بروز تکینی را پیش‌بینی می‌کند. در نتیجه، ریدیابی مسیر از لحظه $t = t_s - \Delta t$ تا زمان رفع وضعیت تکینی، بوسیله کنترل کننده هوشمند انجام می‌شود. در لحظه تکینی سیگنال‌های کنترل هوشمند به صورت آنلاین توسط یک شبکه عصبی موجکی تطبیقی کوانتمومی با ساختار ۱-۵-۳ تنظیم می‌شوند.

حالاتی $\{\psi(t_s - p\Delta t)\}_{p=1}^4$ و سیگنال‌ها و مسیرهای مطلوب

عنوان داده‌های آموزشی ورودی و خروجی‌های مطلوب به شبکه اعمال می‌شوند. موجک کلاه مکریکی و توابع سیگمونئیدی به عنوان توابع محرک لایه‌ی مخفی و توابع انتقال لایه‌ی خروجی انتخاب شده‌اند:

$$\left\{ \begin{array}{l} \Psi(t) = (1 - t^2) \exp\left(\frac{-t^2}{2}\right), \\ f_1(t) = f_2(t) = \text{sig}(t) = \frac{1}{1 + \exp(-t)}, \\ f_3(t) = \text{tansig}(t) = \frac{2}{1 + \exp(-2t)} - 1. \end{array} \right. \quad (48)$$

بعلاوه، به ازای $i = 1, 2, 3, 4, 5$ و $j = 1, 2, 3, 4, 5$ مقادیر اولیه وزن‌ها و پارامترهای شبکه به صورت (49) در نظر گرفته شده‌اند:

$$|W_{ij}^0\rangle = \frac{1}{2}[1, 1, 1, 1, 1, 1, 1]^T, \quad a_j^0 = b_j^0 = 0.2, \quad c_{jk}^0 = 0.25. \quad (49)$$

همچنین، از الگوریتم یادگیری پس انتشار دسته‌ای با نرم یادگیری $\eta = 0.1$ برای آموزش شبکه استفاده می‌شود. در صورت اجرای 200 مرحله آموزش یا رسیدن به خطای کمتر از $E = 0.1$ آموزش شبکه متوقف شده و سیگنال‌های هوشمند کنترل با اعمال ورودی $\{\psi(t_s - p\Delta t)\}_{p=1}^4$ به شبکه ای آموزش دیده تنظیم می‌شوند. شکل 3 مسیر مطلوب $S(t)$ و مسیر ریدیابی شده $Y(t)$ را نمایش می‌دهد.

۵- با استفاده از سیگنال کنترل (t) انتقال جمعیت سیستم کوانتمومی (1) را کنترل کنید.

۴- نتایج شبیه‌سازی

در این بخش، برای بررسی کارایی کنترل کننده ترکیبی تطبیقی هوشمند پیشنهاد شده، مساله کنترل ریدیابی انتقال جمعیت کوانتمومی سیستم کوانتمومی بسته چهار سطحی (41) شبیه‌سازی می‌شود:

$$i|\psi(t)\rangle = (H_0 + u_1(t)H_1 + u_2(t)H_2)|\psi(t)\rangle. \quad (41)$$

ماتریس همیلتونی آزاد H_0 و همیلتونی‌های کنترل سیستم به صورت (42) و (43) در نظر گرفته می‌شوند:

$$H_0 = \text{Diag}(0.4948, 1.4529, 2.3691, 3.2434), \quad (42)$$

$$H_1 = \begin{bmatrix} 0 & 1 & 1 & 0 \\ 1 & 0 & 0 & 1 \\ 1 & 0 & 0 & 1 \\ 0 & 1 & 1 & 0 \end{bmatrix}, \quad H_2 = \begin{bmatrix} 0 & 1 & 0 & 1 \\ 1 & 0 & 1 & 0 \\ 0 & 1 & 0 & 1 \\ 1 & 0 & 1 & 0 \end{bmatrix}. \quad (43)$$

مقادیر ویژه همیلتونی آزاد با $\lambda_k (k = 1, 2, 3, 4)$ نمایش داده شده و بردارهای ویژه متناظر آن‌ها عبارتند از:

$$|\lambda_1\rangle = [1, 0, 0, 0]^T, \quad |\lambda_2\rangle = [0, 1, 0, 0]^T, \quad |\lambda_3\rangle = [0, 0, 1, 0]^T, \quad |\lambda_4\rangle = [0, 0, 0, 1]^T. \quad (44)$$

حالت اولیه سیستم به صورت برهمنهی بردارهای ویژه همیلتونی آزاد در نظر گرفته شده است:

$$|\psi_0\rangle = \frac{1}{2}|\lambda_1\rangle + \frac{1}{2}|\lambda_2\rangle + \frac{1}{2}|\lambda_3\rangle + \frac{1}{2}|\lambda_4\rangle. \quad (45)$$

هدف، کنترل مؤثر سیستم (41) برای ریدیابی مسیر پاسخ پله‌ی $S(t) = 1 - \exp(-t^2/2\tau^2)$ ، $t \geq 0$ توسط مقدار چشمداشتی عملکر مشاهده‌پذیر $O(t) = |\lambda_1\rangle\langle\lambda_1|$ با رابطه (46) داده می‌شود:

$$Y(t) = \langle\psi(t)|\lambda_1\rangle\langle\lambda_1|\psi(t)\rangle = |\langle\psi(t)|\lambda_1\rangle|^2. \quad (46)$$

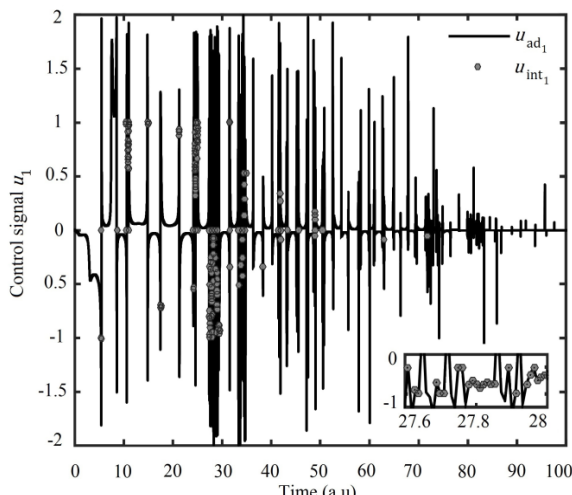
در طراحی بخش تطبیقی کنترل کننده ترکیبی تطبیقی هوشمند از پارامترها و مقادیر اولیه (47) استفاده می‌شود:

$$\Delta t = 0.01, \quad \tau = 20, \quad u_1(0) = u_2(0) = 0.005, \quad g_2 = 220, \quad \text{bnd}_1 = 2, \quad \text{bnd}_2 = 5. \quad (47)$$

اولین سیگنال کنترل تطبیقی و پراکنده‌ی نقاط تکین آن را نشان می‌دهد. همان‌طور که در شکل‌های 5 و 6 مشاهده می‌شود، کنترل ترکیبی تطبیقی هوشمند به طور هموار از نقاط تکین عبور کرده و با ترکیب مؤثر سیگنال‌های کنترل تطبیقی و هوشمند، مشکل بروز تکینی‌های سیستم کنترل را پس از لحظه‌ی $t = 71.6$ رفع می‌کند. مشاهده می‌شود کنترل پیشنهادی، با کاهش چشمگیر خطای ریدیابی مسیر مطلوب انتقال جمعیت سیستم کوانتومی را به صورت پایدار کنترل می‌کند (شکل 7). نتایج شبیه‌سازی کنترل پیشنهادی و عملکرد کنترل تطبیقی ارائه شده در مرجع [15] در جدول 1 مقایسه شده‌اند. در روش ارائه شده در [15] مشکل تکینی سیستم کوانتومی را به صورت پایدار کنترل می‌کنند. نتایج جدول 1 نشان می‌دهد کنترل کننده‌ی پیشنهادی، انتقال جمعیت سیستم کوانتومی را با شاخص عملکرد بهتر کنترل کرده و با کاهش دامنه‌ی سیگنال‌های کنترل هزینه‌ی کنترل را به خوبی کاهش می‌دهد. همچنین، تعداد دفعات بروز تکینی در سیگنال‌های کنترل بوسیله‌ی کنترل کننده‌ی ترکیبی به طور چشمگیر کاهش داده است. به طور کلی، نتایج شبیه‌سازی کنترل کننده‌ی ترکیبی تطبیقی هوشمند عصبی موجکی کوانتومی، عملکرد کنترل ریدیابی مسیر را در سیستم کوانتومی بسته‌ی چهار سطحی بهبود می‌دهد.

5- نتیجه‌گیری

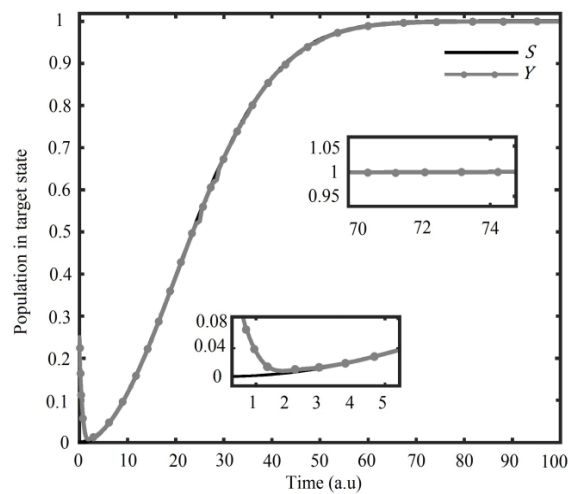
در این مقاله، با طراحی یک شبکه‌ی عصبی موجکی کوانتومی جدید و ترکیب آن با کنترل کننده‌ی تطبیقی طراحی شده یک کنترل کننده‌ی ترکیبی



شکل 5 سیگنال کنترل ریدیابی مسیر u_1

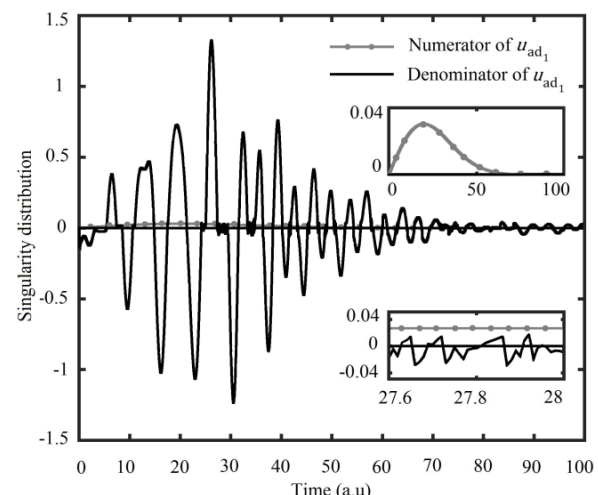
جدول 1 عملکرد کنترل ریدیابی مسیر

کنترل کننده‌ی ترکیبی تطبیقی	کنترل کننده‌ی تطبیقی ریدیابی	شاخص
هوشمند عصبی موجکی کوانتومی	مسیر کوانتومی	[15]
IAE	0.0182	0.0173
$\ u_1\ $	39.7493	31.3635
$\ u_2\ $	18.9577	18.7144
تعداد تکینی‌ها	702	295



شکل 3 پاسخ پله‌ی کنترل کننده‌ی ترکیبی تطبیقی هوشمند عصبی موجکی کوانتومی و مسیر مطلوب

با وجود خطای اولیه $e(0) = -0.25$ بین مسیر مطلوب و مسیر ریدیابی شده، مسیر $S(t)$ در بازه‌ی $[0, 5.40]$ به خوبی توسط بخش تطبیقی کنترل ترکیبی ریدیابی شده است. در لحظه‌ی $t_s = 5.41$ دامنه‌ی اولین سیگنال کنترل از کران داده شده بزرگتر شده $\|u_1(t_s)\| = 2.3862$ و ناظر تکینی با تشخیص وضعیت تکین در کنترل تطبیقی، مقدار پارامتر ناظر تکینی را به $\theta = 1$ تغییر می‌دهد. در نتیجه سیگنال کنترل $u_1(t_s)$ به صورت آنلاین توسط شبکه‌ی عصبی موجکی کوانتومی با مقدار جدید $u_1(t_s) = -0.9983$ تنظیم می‌شود. به ویژه، می‌توان به لحظه‌ی $t_s = 41.74$ به عنوان یک نمونه از وضعیت تکینی ذاتی اشاره کرد. در این لحظه مخرج کسر سیگنال کنترل تطبیقی $u_1(t_s)$ با عدد بسیار کوچک 2.8152×10^{-5} برابر است که موجب رشد بیش از اندازه‌ی دامنه‌ی این سیگنال $(u_1(t_s)) = 420.2668$ و در نتیجه افزایش شدید خطای ریدیابی می‌شود. بنابراین، با تنظیم مجدد سیگنال $u_1(t)$ توسط کنترل هوشمند و خنثی شدن اثر مخرج کسر کوچک با کاهش سریع تر صورت کسر، ریدیابی مسیر اصلاح شده و خطای ریدیابی کاهش می‌یابد. شکل 4 مخرج کسر



شکل 4 نمودار زمانی تغییرات صورت و مخرج کسر قانون کنترل تطبیقی (33)

شکل 4 نمودار زمانی تغییرات صورت و مخرج کسر قانون کنترل تطبیقی (33)

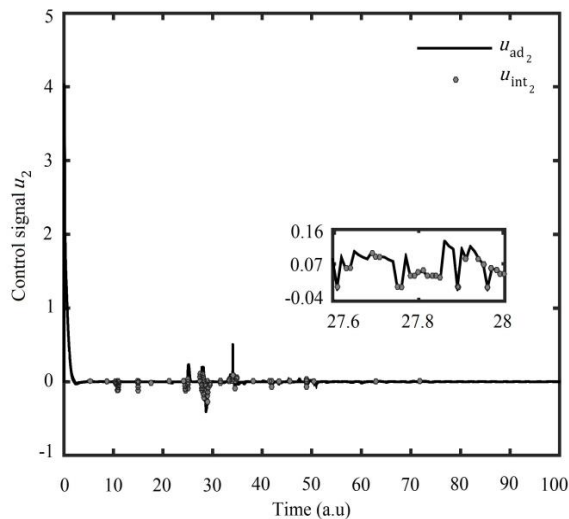
بسته‌ی چهار سطحی در ریدیابی مسیر دینامیک پاسخ پله، نشان‌دهنده‌ی کارایی مؤثر کنترل کننده‌ی پیشنهاد شده در ریدیابی مسیر سیستم کوانتومی و برتری آن در کاهش خطای ریدیابی، کم کردن هزینه‌ی کنترل و کاهش چشمگیر تعداد دفعات بروز تکینی در سیستم کنترل، نسبت به روش‌های موجود است.

6- فهرست علایم

خطای ریدیابی	$e(t)$
بهره‌ی کنترل	g_k
همیلتونی آزاد	H_0
همیلتونی کنترل	H_k
قسمت موهومی	Img
عدد موهومی واحد	i
عملگر تصویر	O_j
عملگر مشاهده‌پذیر	$O(t)$
تابع احتمال	Pr
قسمت حقیقی	Re
مسیر مطلوب (پاسخ پله)	$S(t)$
تابع علامت	Sgn
سیگنال کنترل	$u(t)$
مقدار چشیداشتی	$Y(t)$
علایم یونانی	
ثابت پلانک	\hbar
نرخ یادگیری شبکه	η
پارامتر ناظر تکینی	θ
مقدار ویژه	λ
تابع موج، کت حالت	$ \psi(t)\rangle$
تابع موجک	$\Psi_{a,b}$
زیرنویس‌ها	
مربوط به سیگنال کنترل تطبیقی	ad
مربوط به سیگنال کنترل هوشمند	int

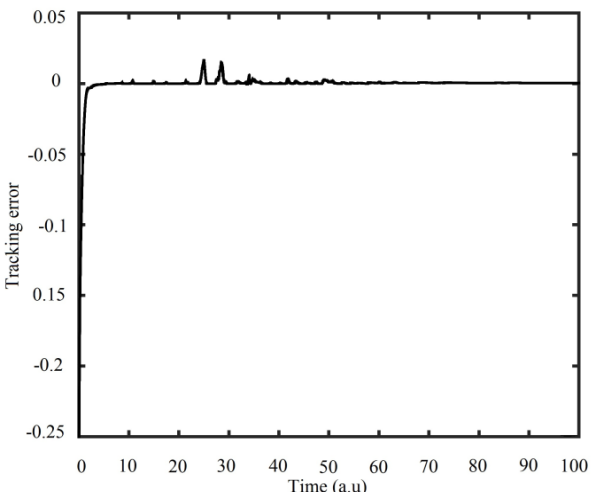
7- مراجع

- [1] S. Cong, F. Meng, A survey of quantum lyapunov control methods, *The Scientific World Journal*, Vol. 2013, pp. 1-14, 2013.
- [2] F. Albertini, D. D'Alessandro, Time-optimal control of a two level quantum system via interaction with an auxiliary system, *IEEE Transactions on Automatic Control*, Vol. 59, No. 11, pp. 3026-3032, 2014.
- [3] S. Chegini, M. Yarahmadi, Design of an adaptive sliding mode controller based on quantum neural network, *Modares Mechanical Engineering*, Vol. 17, No. 1, pp. 305-310, 2017. (in Persian)
- [4] J. M. Coron, A. Grigoriu, C. Lefter, G. Turinici, Quantum control design by Lyapunov trajectory tracking for dipole and polarizability coupling, *New Journal of Physics*, Vol. 11, No. 10, pp. 105034, 2009.
- [5] J. Liu, S. Cong, Y. Zhu, Adaptive trajectory tracking of quantum systems, *Proceeding of The 12th International Conference on Control, Automation and Systems, ICC*, Jeju Island, Korea, October 17-21, 2012.
- [6] M. Mirrahimi, G. Turinici, P. Rouchon, Reference trajectory tracking for locally designed coherent quantum controls, *The Journal of Physical Chemistry A*, Vol. 109, No. 11, pp. 2631-2637, 2005.
- [7] L. M. Vandersypen, I. L. Chuang, NMR techniques for quantum control and computation, *Reviews of Modern Physics*, Vol. 76, No. 4, pp. 1037, 2005.
- [8] A. Arjmandzadeh, M. Yarahmadi, Quantum genetic learning control of quantum ensembles with hamiltonian uncertainties, *Entropy*, Vol. 19, No. 8, pp. 1-12, 2017.
- [9] H. Sedghee Rostami, B. Rezaie, Controlling state of quantum system using fuzzy controller, *Modares Mechanical Engineering*, Vol. 16, No. 9, pp. 124-134, 2016. (in Persian)



شکل 6 سیگنال کنترل ترکیبی تطبیقی هوشمند عصبی موجکی کوانتومی u_2

شکل 6 سیگنال کنترل ترکیبی تطبیقی هوشمند عصبی موجکی کوانتومی u_2



شکل 7 Tracking error of the hybrid adaptive intelligent quantum wavelet neural controller

شکل 7 خطای ریدیابی مسیر توسط کنترل کننده‌ی ترکیبی تطبیقی هوشمند عصبی موجکی کوانتومی

تطبیقی هوشمند عصبی موجکی کوانتومی برای ریدیابی مسیر دینامیک سیستم‌های کوانتومی بسته‌ی متنه‌ی ارائه شد. قوانین کنترل تطبیقی بر اساس تغیری پایداری لیپانوف طراحی شده و پایداری سیستم کنترل تطبیقی با اثبات یک قضیه تضمین شده است. با طراحی نرون عصبی موجکی تطبیقی کوانتومی یک مدل جدید شبکه‌ی عصبی موجکی تطبیقی کوانتومی با ورودی و وزن‌های کوانتومی و خروجی کلاسیک پیشنهاد شد. سیگنال‌های کنترل هوشمند از طریق آموزش آنلاین شبکه‌ی عصبی پیشنهادی با قوانین کنترل گراش گردید. در روش پس انتشار دسته‌ای تنظیم شده‌اند. ترکیب پادگیری کاهش گرادیان در روش پس انتشار دسته‌ای تنظیم شده‌اند. ترکیب کنترل کننده‌های تطبیقی و هوشمند عصبی موجکی کوانتومی از طریق یک پارامتر ناظر تکینی انجام می‌شود. کنترل کننده‌ی ترکیبی طراحی شده، مشکلات بروز تکینی‌های ذاتی در سیگنال‌های کنترل تطبیقی و دامنه‌ی بزرگ سیگنال‌های کنترل را که موجب افزایش هزینه‌ی کنترل و ناپایداری کنترل در ریدیابی مسیر سیستم‌های کوانتومی می‌شوند، به خوبی مدیریت و رفع کرده است. نتایج شبیه‌سازی انتقال جمعیت یک سیستم کوانتومی

- [26] K. Takahashi, M. Kurokawa, M. Hashimoto, Controller application of a multi-layer quantum neural network trained by a conjugate gradient algorithm, *Proceeding of 37th Annual Conference on IEEE industrial Electronics Society*, IEEE, pp. 2353-2358, 2011.
- [27] A. Sagheer, M. Zidan, Autonomous quantum perceptron neural network, *arXiv preprint arXiv:1312.4149*, 2013.
- [28] H. Cao, F. Cao, D. Wang, Quantum artificial neural networks with applications, *Information Sciences*, Vol. 290, pp. 1-6, 2015.
- [29] D. Mu, Z. Guan, H. Zhang, Learning algorithm and application of quantum neural networks with quantum weights, *International Journal of Computer Theory and Engineering*, Vol. 5, No. 5, pp. 788-792, 2013.
- [30] A. J. da Silva, T. B. Ludermir, W. R. de Oliveira, Quantum perceptron over a field and neural network architecture selection in a quantum computer, *Neural Networks*, Vol. 76, pp. 55-64, 2016.
- [31] R. Cheng, Y. Bai, A novel approach to fuzzy wavelet neural network modeling and optimization, *International Journal of Electrical Power & Energy Systems*, Vol. 64, pp. 671-678, 2015.
- [32] J. E. Guillermo, L. J. R. Castellanos, E. N. Sanchez, A. Y. Alanis, Detection of heart murmurs based on radial wavelet neural network with Kalman learning, *Neurocomputing*, Vol. 164, pp. 307-317, 2015.
- [33] H. Z. Hosseiniabadi, B. Nazari, R. Amirfattahi, H. R. Mirdamadi, A. R. Sadri, Wavelet network approach for structural damage identification using guided ultrasonic waves, *IEEE Transactions on Instrumentation and Measurement*, Vol. 63, No. 7, pp. 1680-1692, 2014.
- [34] F. Zhou, L. Wang, H. Lin, Z. Lv, High accuracy state-of-charge online estimation of EV/HEV lithium batteries based on Adaptive Wavelet Neural Network, *Proceeding of 2013 IEEE ECCE Asia Downunder*, IEEE, pp. 513-517, 2013.
- [35] K. Liu, L. Peng, Q. Yang, The algorithm and application of quantum wavelet neural networks, *Proceeding of 2010 Chinese Control and Decision Conference (CCDC)*, IEEE, pp. 2941-2945, 2010.
- [36] S. M. Taha, A. K. Nawar, A new quantum radial wavelet neural network model applied to analysis and classification of EEG signals, *International Journal of Computer Applications*, Vol. 85, No. 7, 2014.
- [37] K. Takahashi, Y. Shiotani, M. Hashimoto, Remarks on model reference self-tuning PID controller using quantum neural network with qubit neurons, *Proceeding of 2013 International Conference of Soft Computing and Pattern Recognition (SoCPaR)*, IEEE, pp. 253-257, 2013.
- [38] D. D'Alessandro, *Introduction to Quantum Control and Dynamics*, pp. 1-35, Chapman & Hall, London, 2007.
- [39] C. Y. Liu, C. Chen, C. T. Chang, L. M. Shih, Single-hidden-layer feed-forward quantum neural network based on Grover learning, *Neural Networks*, Vol. 45, No. Supplement C, pp. 144-150, 2013.
- [10] A. Borzi, G. Stadler, U. Hohenester, Optimal quantum control in nanostructures: Theory and application to a generic three-level system, *Physical Review A*, Vol. 66, No. 5, pp. 1-7, 2002.
- [11] R. Mathew, C. E. Pryor, M. E. Flatté, K. C. Hall, Optimal quantum control for conditional rotation of exciton qubits in semiconductor quantum dots, *Physical Review B*, Vol. 84, No. 20, pp. 1-11, 2011.
- [12] J. L. Herek, W. Wohllben, R. J. Cogdell, D. Zeidler, M. Motzkus, Quantum control of energy flow in light harvesting, *Nature*, Vol. 417, No. 6888, pp. 533-535, 2002.
- [13] M. Shapiro, P. Brumer, Principles of the quantum control of molecular processes, *Principles of the Quantum Control of Molecular Processes*, Moshe Shapiro, Paul Brumer, pp. 250, Wiley-VCH, 2003.
- [14] D. Dong, I. R. Petersen, Quantum control theory and applications: a survey, *IET Control Theory & Applications*, Vol. 4, No. 12, pp. 2651-2671, 2010.
- [15] J. Liu, S. Cong, Trajectory tracking of quantum states based on Lyapunov method, *Proceeding of The 9th IEEE International Conference on Control and Automation (ICCA)*, Santiago, Chile, December 19-21, 2011.
- [16] M. Mirrahimi, P. Rouchon, Trajectory tracking for quantum systems: A lyapounov approach, *Proceedings of the International Symposium MTNS*, pp. 1-6, 2004.
- [17] S. Cong, J. Liu, Trajectory tracking theory of quantum systems, *Journal of Systems Science and Complexity*, Vol. 27, No. 4, pp. 679-693, 2014.
- [18] W. Zhu, H. Rabitz, Quantum control design via adaptive tracking, *Chemical Physics*, Vol. 119, No. 7, pp. 3619-3625, 2003.
- [19] S. Cong, *Control of Quantum Systems: Theory and Methods*, pp. 381-402 John Wiley & Sons, Singapore, 2014.
- [20] W. Zhu, M. Smit, H. Rabitz, Managing singular behavior in the tracking control of quantum dynamical observables, *Chemical Physics*, Vol. 110, No. 4, pp. 1905-1915, 1999.
- [21] S. Kak, On quantum neural computing, *Information Sciences*, Vol. 83, No. 3-4, pp. 143-160, 1995.
- [22] N. Matsui, N. Kouda, H. Nishimura, Neural network based on QBP and its performance, *Proceedings of the IEEE-INNS-ENNS International Joint Conference on Neural Networks*, IEEE, pp. 247-252, 2000.
- [23] L. Panchi, L. Shiyong, Learning algorithm and application of quantum BP neural networks based on universal quantum gates, *Journal of Systems Engineering and Electronics*, Vol. 19, No. 1, pp. 167-174, 2008.
- [24] M. Khosravi, M. Zekri, A review of quantum neural networks, *Soft Computing Journal*, Vol. 1, No. 1, pp. 46-55, 2013. (in Persian)
- [25] S. S. Mukherjee, R. Chowdhury, S. Bhattacharyya, Image restoration using a multilayered quantum backpropagation neural network, *Proceeding of International Conference on Computational Intelligence and Communication Networks*, IEEE, pp. 426-430, 2011.